## ДОПОЛНИТЕЛЬНЫЕ МАТЕРИАЛЫ

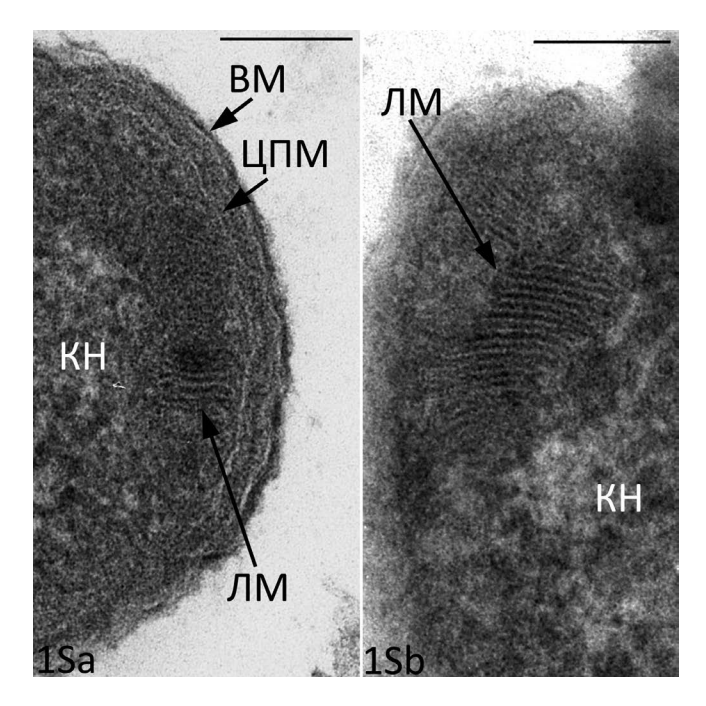
## = ЭКСПЕРИМЕНТАЛЬНЫЕ СТАТЬИ =

## СТРУКТУРА БИОКРИСТАЛЛИЧЕСКОГО НУКЛЕОИДА И ЕГО РОЛЬ В РЕГУЛЯЦИИ ДИССОЦИАТИВНОЙ ФЕНОТИПИЧЕСКОЙ ГЕТЕРОГЕННОСТИ МИКРОБНЫХ ПОПУЛЯЦИЙ

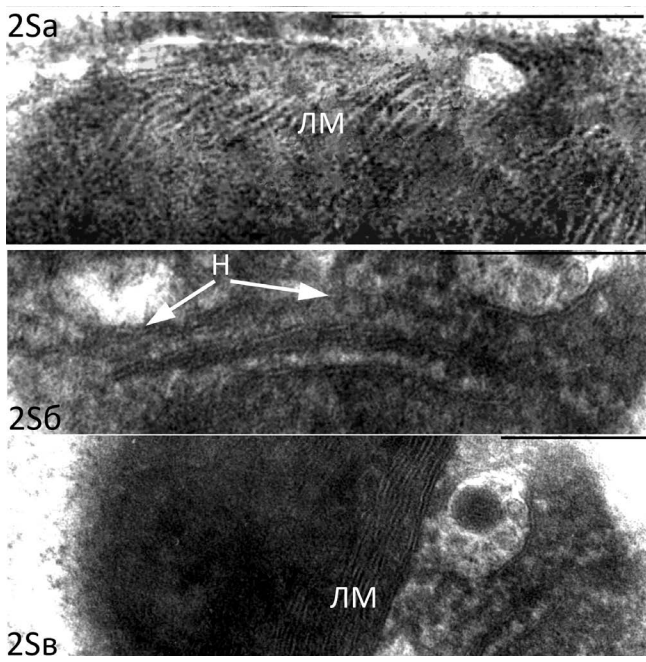
© 2024 г. Г. И. Эль-Регистан<sup>а</sup>, Н. Е. Сузина<sup>b</sup>, Е. В. Демкина<sup>a, \*</sup>, Ю. А. Николаев<sup>a</sup>

<sup>а</sup>Институт микробиологии им. С.Н. Виноградского, ФИЦ "Фундаментальные основы биотехнологии РАН", 119071, Москва, Россия

<sup>b</sup>Институт биохимии и физиологии микроорганизмов им. Г.К. Скрябина РАН, ФИЦ "Пущинский научный центр биологических исследований РАН", Пущино, 142290, Россия \*e-mail: elenademkina@mail.ru

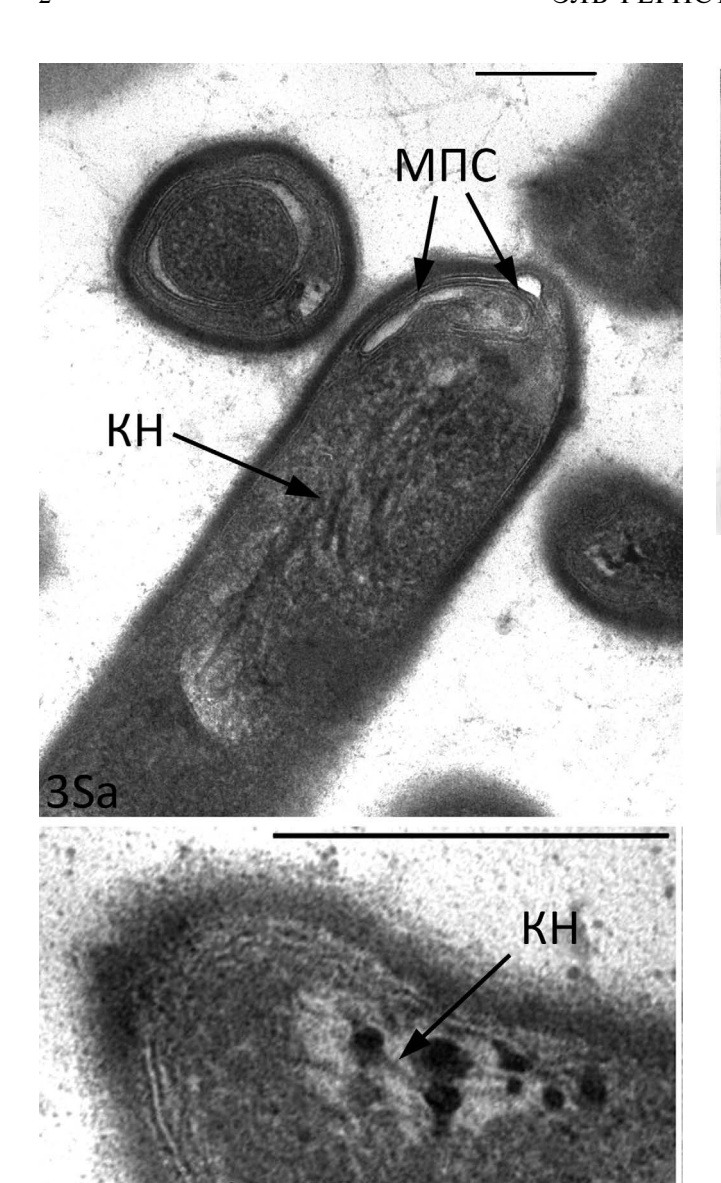


**Рис. 1S.** Тонкие срезы интактных  $\Pi\Phi$  *E. coli* (3 мес): а, 6 — ламеллярная укладка нитей суперспирализованной ДНК-Dps. Масштабная метка — 0.1 мкм.

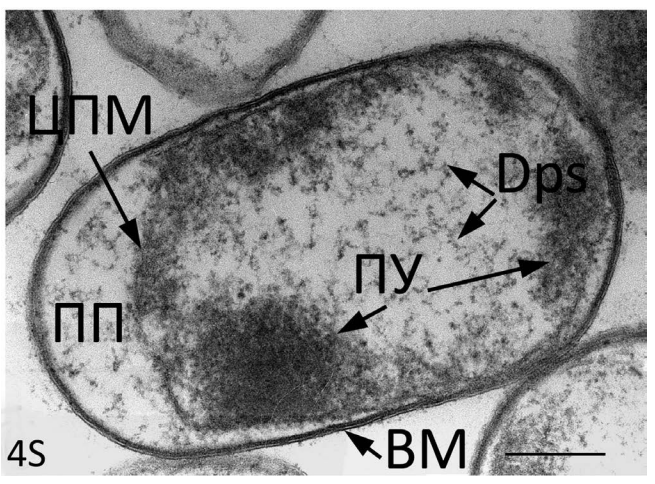


**Рис. 2S.** Тонкие срезы интактных  $\Pi\Phi$  *P. extremaustralis* (3 мес): а, в — тонкопакетированная ламеллярная укладка Dps-Dps; б — ламеллярная укладка нитей линейной ДНК-Dps; в — тороидальная структура ДНК-Dps. Масштабная метка — 0.2 мкм.

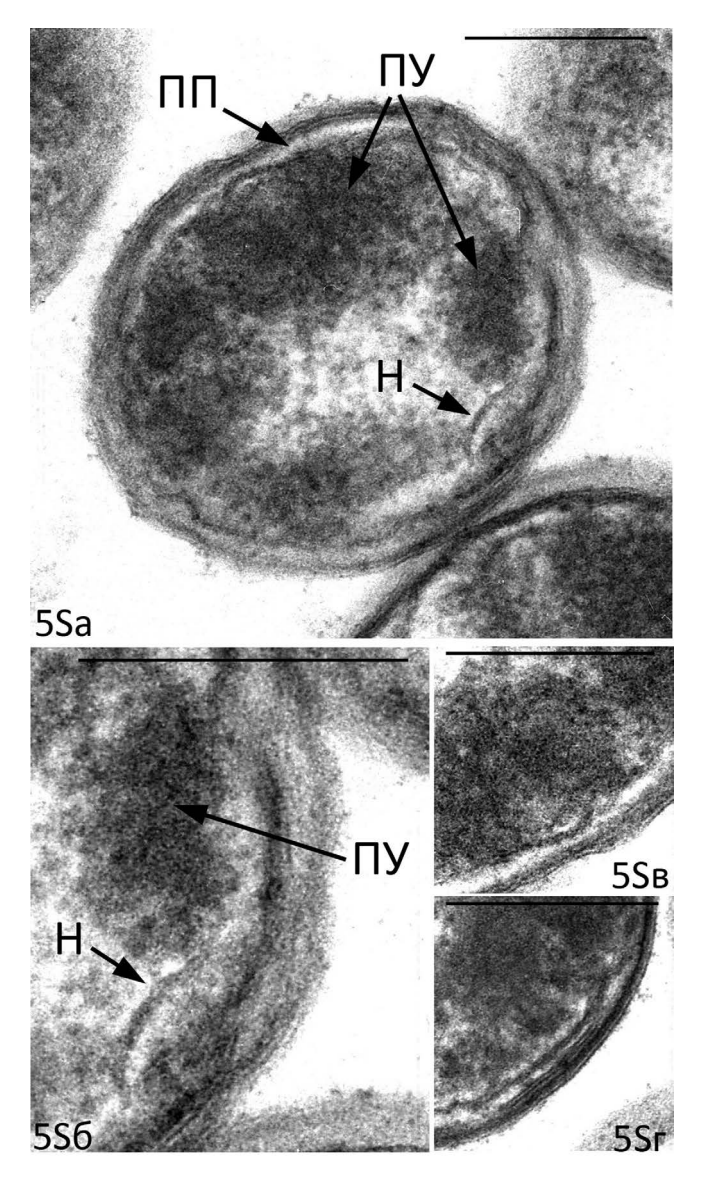
356



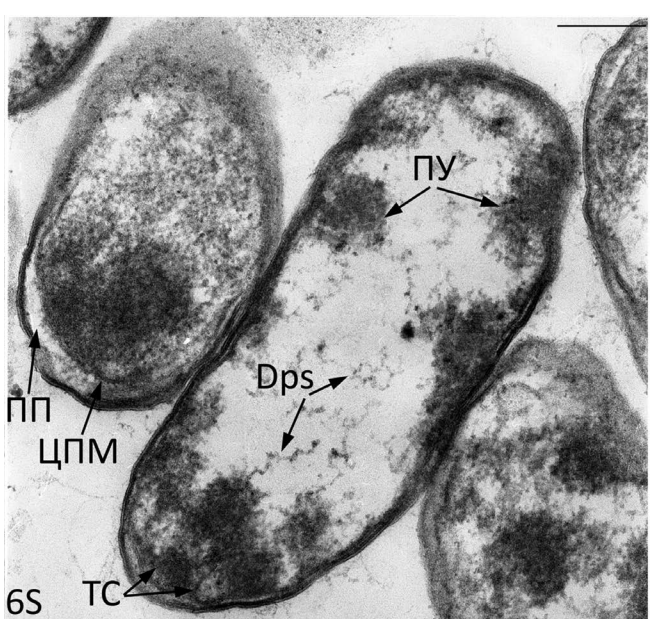
**Рис. 3S.** Тонкие срезы интактных  $\Pi\Phi$  *E. coli* (3 мес). Видны: а, 6- жидкокристаллическая ДНК изотропного типа компактизованного нуклеоида; а - мембраноподобные структуры; 6- примембранная укладка нитей линейной ДНК-Dps. Масштабная метка - 0.2 мкм.



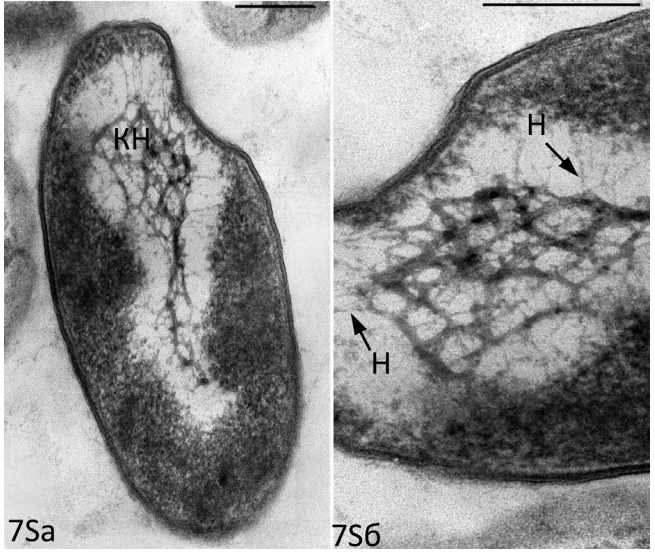
**Рис. 4S.** Тонкий срез  $\Pi\Phi$  *E. coli*, нагретой до 50°С, моментальная фиксация: а — расплав биокристаллов ДНК-Dps. Видны: периплазматическое простанство; окруженная цитоплазматической мембраной цитоплазма с расплавом БН и отдельные фрагменты Dps-Dps. Масштабная метка — 0.2 мкм.



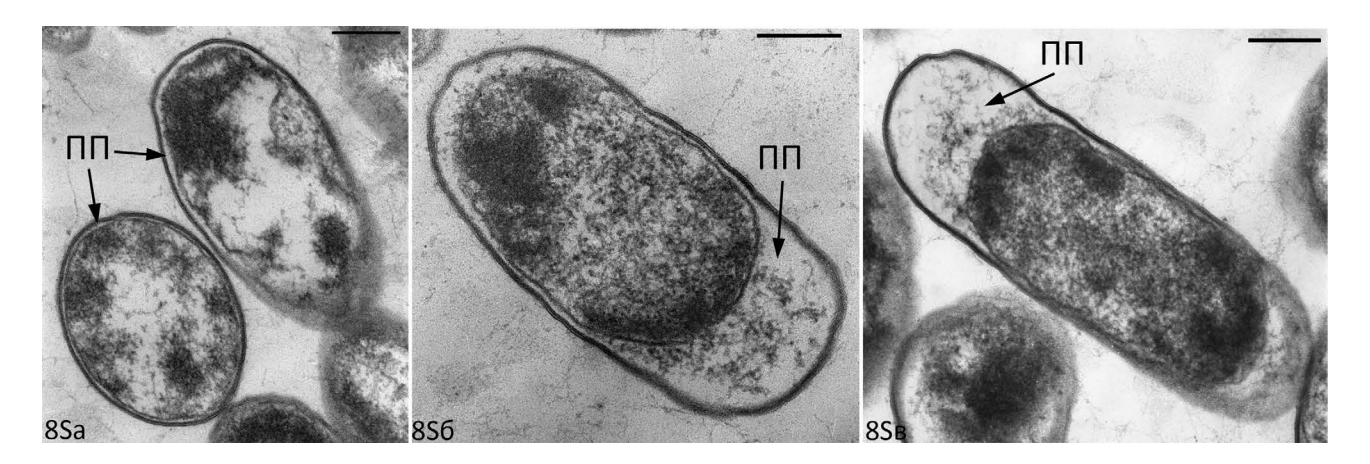
**Рис. 5S.** Тонкие срезы ПФ *E. coli*, нагретых до  $55^{\circ}$ С, моментальная фиксация. Видны: Sa—Sr — фрагменты оставшейся плотной укладки ДНК-Dps и Dps-Dps биокристаллического нуклеоида; а, б — нити ДНК-Dps. Масштабная метка — 0.2 мкм.



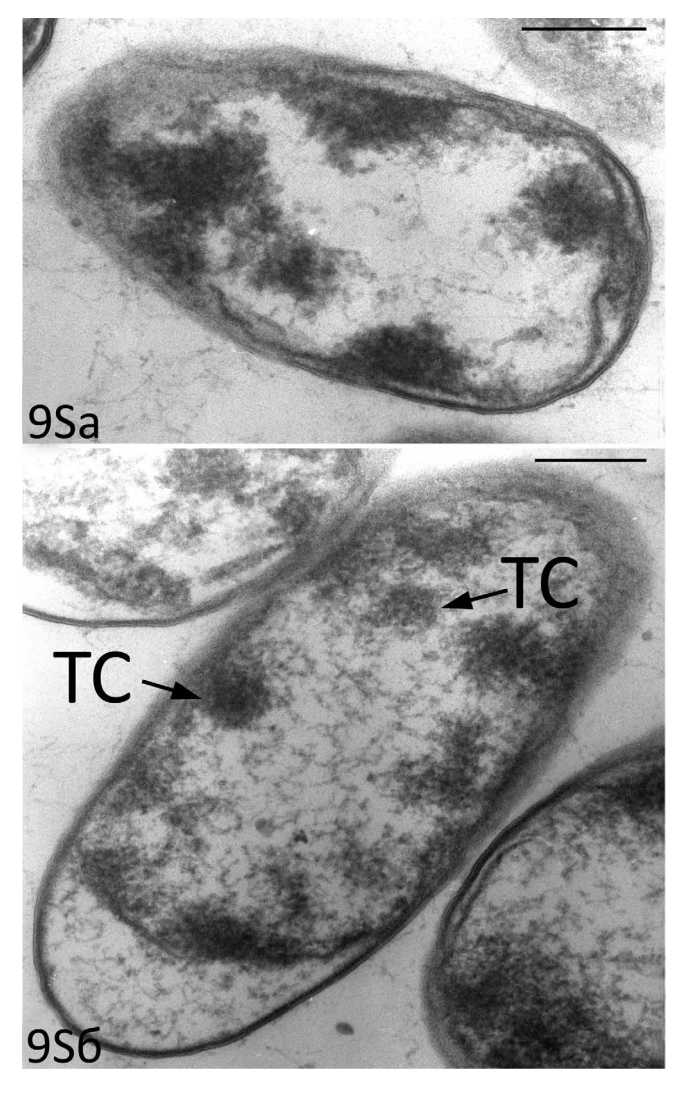
**Рис. 6S.** Тонкие срезы ПФ *E. coli*, нагретых до  $65^{\circ}$ С, моментальная фиксация. Видны: увеличенное периплазматическое пространство; сохранившиеся участки плотной упаковки ДНК-Dps и Dps-Dps биокристаллического нуклеоида; фрагменты цепочек Dps-Dps. Масштабная метка -0.2 мкм.



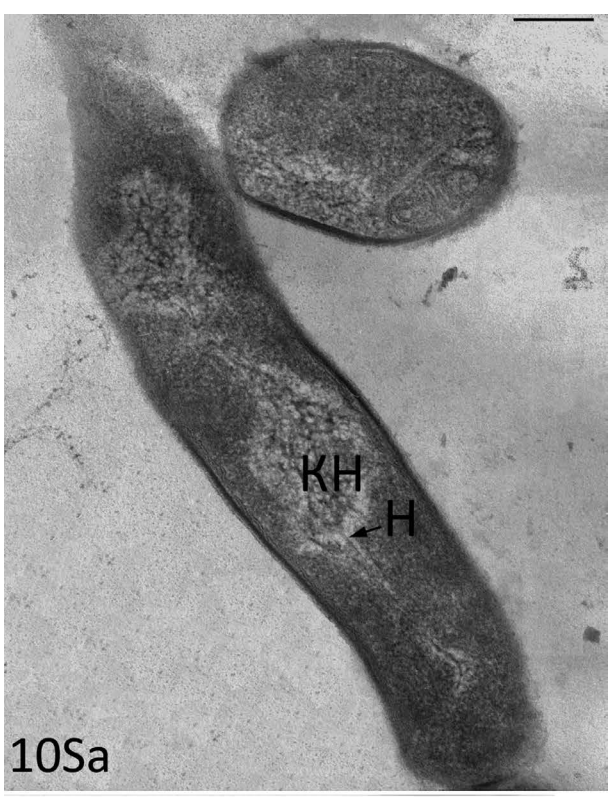
**Рис. 7S.** Тонкие срезы  $\Pi\Phi$  *E. coli*, нагретых до 55°C, быстрое охлаждение. Видны: а, б — сохранивший свою структуру компактизованный нуклеоид изотропного типа, представленный тяжами жидкокристаллической ДНК, с отходящими от тяжей нитями суперскрученной суперспирализованной ДНК (б). Масштабная метка — 0.2 мкм.

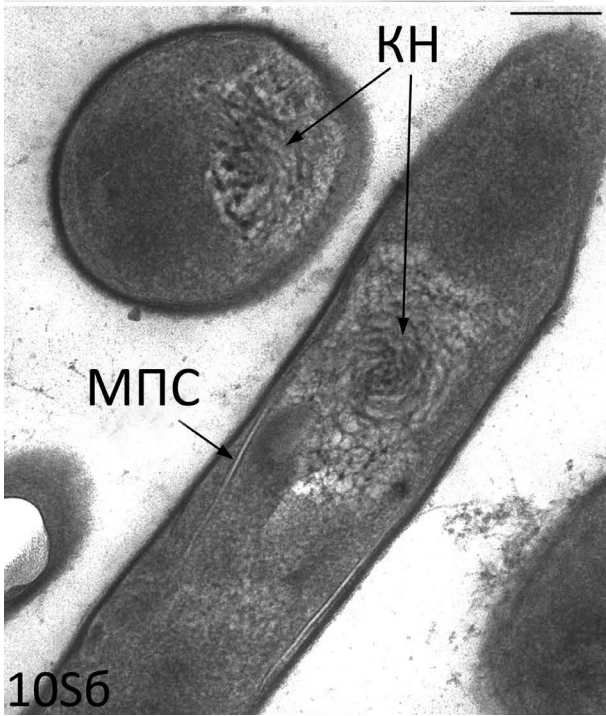


**Рис. 8S.** Тонкие срезы  $\Pi\Phi$  *E. coli*, нагретых до 65°C, быстрое охлаждение. Видны: a-в — участки сохранившейся упаковки ДНК-Dps и Dps-Dps; увеличенное периалазматическое пространство. Масштабная метка — 0.2 мкм.

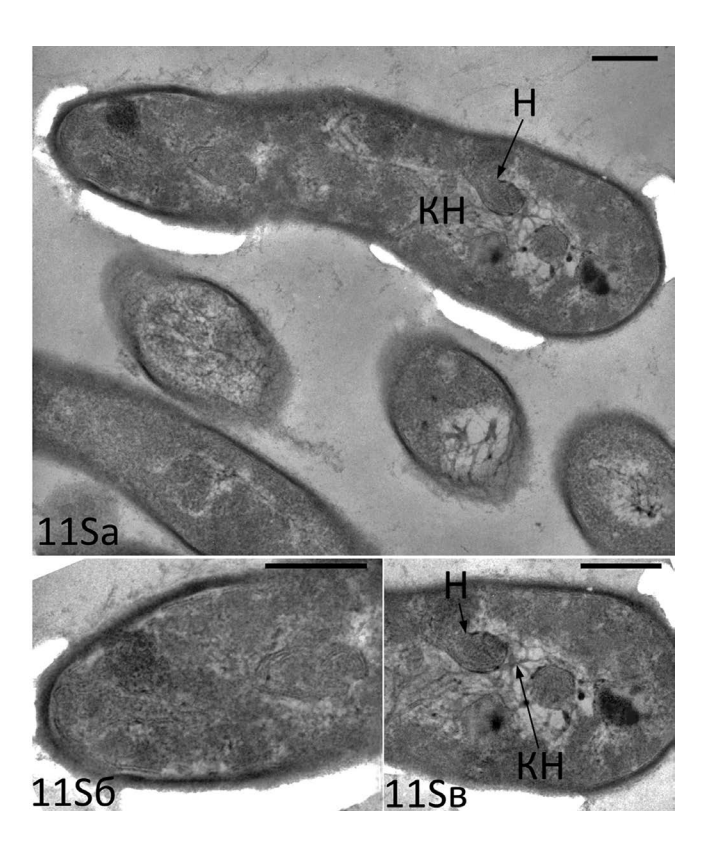


**Рис. 9S.** Тонкие срезы ПФ *E. coli*, нагретых до 55°C, медленное охлаждение. Видны: а — расплав биокристалла с участками сохранившейся структуры Dps-Dps; 6 — начавшаяся рекристаллизация ДНК-Dps и образование тороидных структур. Масштабная метка — 0.2 мкм.

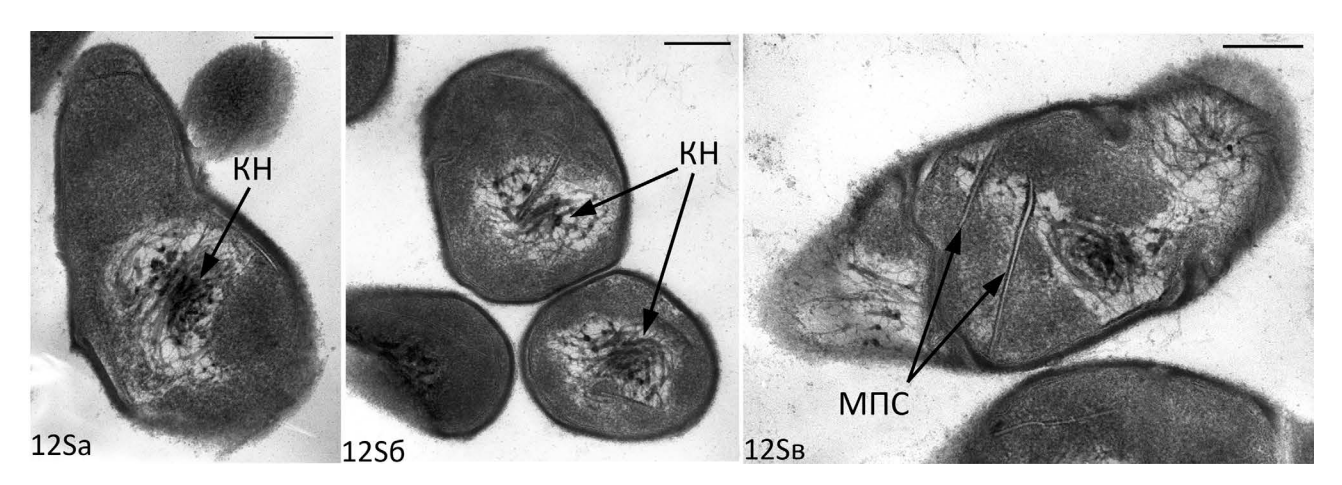




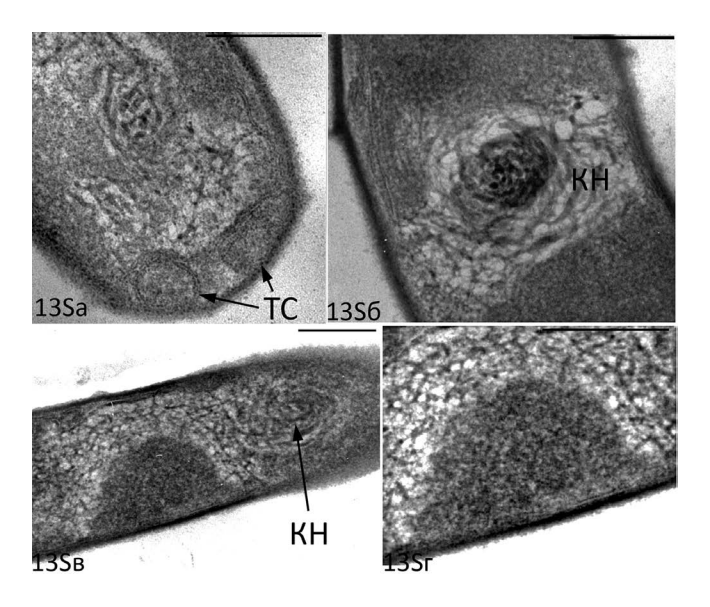
**Рис. 10S.** Тонкие срезы  $\Pi\Phi$  *P. erythropolis*, нагретых до 60°C, быстрое охлаждение. Видно: компактизованный нуклеоид изотропного (а) или холестерического (б) типа; а — параллельная укладка нитей линейной ДНК-Dps, отходящих от компактизованного нуклеоида. Масштабная метка — 0.2 мкм.



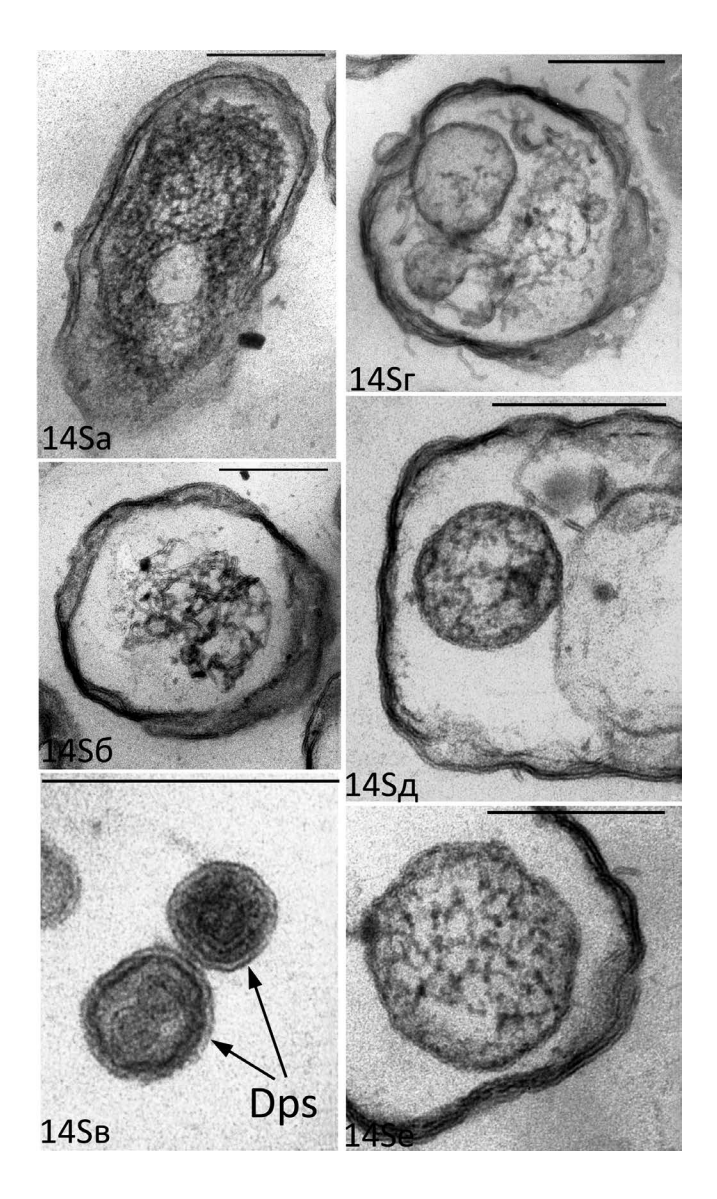
**Рис. 11S.** Тонкие срезы  $\Pi\Phi$  *P. erythropolis*, нагретых до 50°C, быстрое охлаждение. Видно: а—в — сохранившаяся структура биокристаллического компактизованного нуклеоида; а, в — нити линейной ДНК-Dps. Масштабная метка — 0.2 мкм.



**Рис. 12S.** Тонкие срезы  $\Pi\Phi$  *Р. erythropolis*, нагретых до 60°C, медленное охлаждение. Видно: a-b- компактизованный нуклеоид, образованный жидкокристаллической ДНК изотропного типа; b- мембраноподобные структуры. Масштабная метка -0.2 мкм.



**Рис. 13S.** Тонкие срезы  $\Pi\Phi$  *P. erythropolis*, нагретых до 70°C, быстрое охлаждение. Видно: а, в, г — начинающееся плавление БН; "сетка", образованная нитями ДНК-Dpsu Dps-Dps; б — компактизованный нуклеоид, образованный жидкокристаллической ДНК, холестерического типа. Масштабная метка — 0.2 мкм.



**Рис. 14S.** Тонкие срезы ПФ *Р. extremaustralis*, нагреты до  $60^{\circ}$ С, медленное охлаждение. Видно: а — начинающееся плавление биокристаллического нуклеоида, выраженный плазмолиз с образованием увеличенного перипалазматического пространства, б — разрушенный биокристаллический нуклеоид, оставшиеся нити ДНК-Dps; в—е — самосборка нитей ДНК-Dps в тороидальные структуры. Масштабная метка — 200 нм.